

ถ่านกัมมันต์จากชานอ้อยโดยวิธีการตุ้นทางเคมีและการกำจัด โครเมียมจากสารละลายน้ำด้วยถ่านกัมมันต์

ณัฐยา พุนสุวรรณ¹, ชัยยศ ตั้งสاثิตคุลชัย^{2*} และมาลี ตั้งสاثิตคุลชัย³

Natthaya Punsuwan¹, Chaiyot Tangsathitkulchai^{2*} and Malee Tangsathitkulchai³. (2006). Chemically Activated Carbon from Bagasse and the Removal of Chromium from Aqueous Solution with Activated Carbon. *Suranaree J. Sci. Technol.* 13(2):143-158.

Received: Sept 20, 2005; Revised: Jan 25, 2006; Accepted: Jan 25, 2006

Abstract

Highly porous activated carbon was prepared from sugar-mill bagasse by chemical activation with phosphoric acid in a tubular furnace. Effects of preparation conditions including, chemical-to-precursor ratio, time and temperature of activation on the porous properties of activated carbon were investigated. The maximum in BET surface area of 1,574 m²/g of carbon was achieved with a chemical weight ratio of 1 : 1, and time and temperature of 120 min and 400°C, respectively. The potential use of the prepared activated carbon for the removal of chromium (VI) from potassium dichromate solution was studied. Maximum removal efficiency of chromium (~82%) by adsorption at 30°C occurred at pH 2.5, where the oxyanion HCrO₄⁻ was the dominant adsorbed species. The adsorption capacity of chromium was favored by an increase in the adsorption temperature over the range of 30 - 40°C. Langmuir type of adsorption isotherm was found to fit the adsorption of chromium by activated carbon reasonably well. The adsorption kinetics of chromium from solution can be best described by the second-order rate model, with the value of the rate constant being 11×10^{-5} g/mg-min.

Keywords: Activated carbon, chemical activation, chromium removal, adsorption

¹ นักวิจัยและพัฒนากระบวนการผลิต บริษัท J.M.T. Laboratories จำกัด ตำบลโขงเจ้า อำเภอโขงเจ้า จังหวัดนครราชสีมา 30160

² สาขาวิชาชีวกรรมเคมี สำนักวิชาชีวกรรมศาสตร์ มหาวิทยาลัยเทคโนโลยีสุรนารี อำเภอเมือง จังหวัดนครราชสีมา 30000 โทรศัพท์: 0-4422-4263; โทรสาร: 0-4422-4609; E-mail: chaiyot@sut.ac.th

³ สาขาวิชาเคมี สำนักวิชาชีวเคมี มหาวิทยาลัยเทคโนโลยีสุรนารี อำเภอเมือง จังหวัดนครราชสีมา 30000 * ผู้เขียนที่ได้รับการติดต่อ

บทคัดย่อ

งานวิจัยนี้ศึกษาการเตรียมถ่านกัมมันต์ความพรุนสูงจากชานอ้อยซึ่งเป็นวัสดุเหลือทิ้งจากโรงงานน้ำตาล โดยใช้วิธีกระตุ้นทางเคมีด้วยกรดฟอสฟอริกในแต่เพียงท่อ ได้ศึกษาผลกระบวนการของกระบวนการเตรียม ได้แก่ อัตราส่วนสารกระตุ้นต่อวัตถุดินิเวลา และอุณหภูมิ ต่อสมบัติโครงสร้างรูปรุนภายในของถ่านกัมมันต์ที่เตรียมได้ พบว่าได้ถ่านกัมมันต์ที่ให้พื้นที่ผิวจำเพาะสูงสุดเท่ากับ 1,574 ตารางเมตรต่อกิโลกรัมที่สภาวะอัตราส่วนสารกระตุ้นต่อวัตถุดินิเวลา 1 : 1 โดยนำหนัก เวลา 120 นาทีและอุณหภูมิการกระตุ้น 400 องศาเซลเซียส นอกจ้านี้ยังได้ศึกษาการนำถ่านกัมมันต์ที่เตรียมได้ไปใช้กำจัดโครเมียม (VI) โดยใช้สารละลายโพแทสเซียมไดโครเมตเป็นตัวแทนโดยอาศัยหลักการคุณชาบทองถ่านกัมมันต์ที่เตรียมจากงานวิจัยนี้ เมื่อทดสอบการคุณชาบทองถ่านกัมมันต์ที่อุณหภูมิ 30 องศาเซลเซียส พบว่าได้ประสิทธิภาพการกำจัดสูงสุดเท่ากับ 82 เปอร์เซ็นต์ ที่ค่าความเป็นกรดด่างของสารละลาย 2.5 ซึ่งโครเมียมในสารละลายส่วนใหญ่จะอยู่ในรูปของ HCrO_4^- และพบว่าความสามารถในการคุณชาบทองถ่านกัมมันต์เพิ่มตามอุณหภูมิของการคุณชาบทองถ่านกัมมันต์ที่ 30 ถึง 40 องศาเซลเซียส สมการลงเม็ดส่วนราชการใช้อัตราเร็ว $1/\text{ไโอโซเกิร์ม} \times \text{การคุณชาบทองถ่านกัมมันต์}^{\frac{1}{2}}$ และพบว่าจลนพลาสต์ของการคุณชาบทองถ่านกัมมันต์ได้ลดลงจากสารละลายสารเคมีที่มีอัตราเร็วเท่ากับ 11×10^{-5} กรัมต่อมิลลิกรัม-นาที

บทนำ

ถ่านกัมมันต์จัดเป็นประเภทหนึ่งของการรับอนุสัม糸ฐาน ซึ่งผลิตได้จากการนำวัตถุดินที่มีการบ่อนเป็นองค์ประกอบหลักมาผ่านกระบวนการก่อถ่านมันต์ (activation) ทำให้เกิดโครงสร้างที่มีรูพรุนจำนวนมาก ลักษณะที่สำคัญในเพิ่มมากขึ้น จึงเป็นวัสดุพิเศษที่มีความสามารถในการคุณชาบทองถ่านกัมมันต์สูงและอุกน้ำ นำไปประยุกต์ใช้เป็นสารคุณชาบทองถ่านกัมมันต์ในอุตสาหกรรมประเภทต่างๆ อย่างหลากหลาย เช่น อุตสาหกรรมน้ำตาล อาหารและเครื่องดื่ม ตลอดจนอุตสาหกรรมชุมชนเลื่อนโลหะ สิ่งทอ และอื่นๆ อีกมาก

กระบวนการผลิตถ่านกัมมันต์โดยทั่วไปมีสองวิธี ได้แก่ วิธีใช้อุณหภูมิสูง (800 - 1,000 องศาเซลเซียส) ด้วยกระบวนการการออกซิเดชัน เรียกว่าวิธีกระตุ้นทางเคมี โดยสารออกซิไดซ์ที่ใช้มากได้แก่ ไอน้ำและแก๊สคาร์บอนไดออกไซด์ ส่วนอีกวิธีหนึ่งเป็นวิธีใช้อุณหภูมิต่ำ (400 - 600 องศาเซลเซียส) ด้วยกระบวนการดีไซเดชัน เรียกว่าวิธีกระตุ้นทางเคมี สารเคมีที่ใช้มากได้แก่

ซิงค์คลอไรด์ (ZnCl_2) และกรดฟอสฟอริก (H_3PO_4) ตัวอย่างวัตถุดินที่นำมาใช้ในการผลิตถ่านกัมมันต์ได้แก่ ถ่านหิน ไม้ ชานอ้อย และกะลามะพร้าว เป็นต้น ประเทศไทยมีการใช้ถ่านกัมมันต์ในปริมาณมากและมีแนวโน้มในการนำเข้าเพิ่มขึ้นทุกปี ตัวอย่างเช่น ในปี พ.ศ. 2547 มีการนำเข้าถ่านกัมมันต์คิดเป็นมูลค่ารวม 540 ล้านบาท โดยนำเข้าจากประเทศไทยมีปริมาณมากที่สุดคิดเป็นสัดส่วน 32 เปอร์เซ็นต์ (The Customs Department, 2005)

นักวิจัยหลายกลุ่มอาทิเช่น Valix *et al.* (1999); Castro *et al.* (2000); Selvi *et al.* (2001); Girgis *et al.* (2002) และ Kobyay (2004) ได้รายงานผลงานวิจัยว่า ชานอ้อยและวัสดุชีวมวลเป็นวัตถุดินที่สามารถนำมาใช้เตรียมถ่านกัมมันต์ได้ โดยส่วนใหญ่ใช้วิธีการกระตุ้นทางเคมีด้วยกรดฟอสฟอริก ทำให้ได้ถ่านกัมมันต์ที่มีพื้นที่ผิวสูง มีสมบัติการคุณชาบทองถ่าน จากการสำรวจข้อมูลพบว่า ในแต่ละปีมีชานอ้อยเหลือทิ้งจากการกระบวนการผลิตน้ำตาลทรายของ

โรงงานน้ำตาลทั่วประเทศ 46 แห่ง เป็นปริมาณ ประมาณ 15 ล้านตันต่อปี (คิดที่ความชื้น 50 เปอร์เซ็นต์โดยน้ำหนัก) ถึงแม้ว่าร้อยละ 85 ของ ชา奸อ้อยจะถูกนำไปใช้ประโยชน์เป็นเชื้อเพลิง ในโรงงานหรือนำไปใช้ทำเยื่อกระดาษ ปริมาณที่เหลือก็ยังอาจนำไปใช้ประโยชน์ในด้านอื่น ๆ ได้อีก เช่น การนำไปผลิตเป็นถ่านกัมมันต์เพื่อเป็นตัว คุณชับที่สามารถนำไปใช้ในอุตสาหกรรมการผลิต หรือการนำบัคคลพิษจากอากาศและน้ำ เป็นต้น

ผลพิษจากโลหะหนัก เช่น แครดเมียม ตะกั่ว nickel โครเมียม และอื่น ๆ ซึ่งเป็นปัจจัยในน้ำที่ จากโรงงานประเภทต่าง ๆ เช่น โรงงานชุมเคลือบ โลหะ โรงงานผลิตเหล็กกล้า โรงงานผลิตสี โรงงาน พอกซ้อม และโรงงานสีทอ เป็นต้น เป็นปัญหา ที่ส่งผลกระทบอย่างรุนแรงต่อสภาพแวดล้อม หากไม่มีการนำบัคและควบคุมให้อยู่ในมาตรฐาน ของทางราชการ ในประเทศไทยเฉพาะในเขต กรุงเทพมหานครมีโรงงานชุมเคลือบโลหะมากกว่า 2,000 โรงงาน ซึ่งมีน้ำทิ้งที่ปนเปื้อนโครเมียม ในปริมาณมากถึง 1,000 ลูกบาศก์เมตรต่อวัน (Punsuwan, 2002) โครเมียมที่พบรูปในน้ำมีอยู่สอง รูปแบบคือ โครเมียม (III) และ โครเมียม (VI) เนื่องจากโครเมียม (VI) มีความสามารถในการ ละลายน้ำสูง จึงมีความเป็นพิษต่อสิ่งชีวิตได้มาก โดยความเป็นพิษอาจเป็นแบบเฉียบพลันหากได้รับ ในปริมาณมาก หรือแบบสะสมที่ละน้อยเป็นเวลา นาน สำหรับกระบวนการกำจัดโครเมียมออกจาก น้ำทิ้งมีอยู่หลายวิธี (Punsuwan, 2002) ได้แก่ การทำให้ตกลงกอนโดยวิธีทางไฟฟ้าและวิธีทางเคมี การนำบัคทางชีวภาพ การแยกเปลี่ยนไออกอน การกรองผ่านเยื่อแผ่นสังเคราะห์ และการคุณชับ เป็นต้น ทั้งนี้แต่ละวิธีการนี้ข้อดีและข้อด้อยที่ แตกต่างกันไป เช่น การตกลงกอนทำให้มีปัญหา การกำจัดจากการตกลงกอนที่เกิดขึ้น การแยกเปลี่ยน ไออกอน หรือการใช้เยื่อแผ่นมีต้นทุนที่สูง ส่วนการ คุณชับจะมีประสิทธิภาพสูงได้ด้วยมีสภาวะการ ใช้งานที่เหมาะสม หรือต้องเลือกใช้สารคุณชับที่มี ประสิทธิภาพและมีราคาถูกเป็นต้น

ความสามารถในการคุณชับของถ่านกัมมันต์ จะขึ้นกับสมบัติทางกายภาพของถ่านกัมมันต์ ได้แก่ พื้นที่ผิว ปริมาตรรูพุนและการกระจายขนาดของ รูพุน รวมถึงโครงสร้างทางเคมีพื้นผิวของถ่าน กัมมันต์ ได้แก่ ชนิดและปริมาณของหนูฟังก์ชัน ต่างๆ ถ่านกัมมันต์ที่เตรียมจากวัตถุดินนิคเดียวกัน อาจให้สมบัติทางกายภาพและทางเคมีพื้นผิวที่ แตกต่างกันได้ ทั้งนี้ขึ้นกับวิธีการเตรียมและสภาวะ การเตรียม ที่แตกต่างกัน สมบัติทางโครงสร้างทาง กายภาพ เช่น ความพุนจะเกี่ยวข้องกับความจุของ การคุณชับ ในขณะที่ลักษณะ โครงสร้างทางเคมี พื้นผิวจะมีผลต่ออันตรายร้ายแรงถ่านกัมมันต์ และสารถูกคุณชับชนิดมีข้าวและไม่มีข้าว Ouki and Neufeld (1997) ได้รายงานผลการวิจัยว่าในการใช้ ถ่านกัมมันต์เพื่อคุณชับโครเมียมจากสารละลายนั้น มีปรากฏการณ์เกิดขึ้นสองอย่างภายใต้สภาวะที่ สารละลายในน้ำมีค่าความเป็นกรดค่างค่า ได้แก่ การคุณชับ ไออกอนโครเมียมบนพื้นผิวที่ว่องไว และปฏิกิริยาเรตักชันของ โครเมียม (VI) ไปเป็น โครเมียม (III) กลไกดังกล่าวได้ถูกสรุปไว้ในรายงาน วิจัยของ Selomulya et al. (1999) ว่ากลไกการกำจัด โครเมียมจากสารละลายด้วยถ่านกัมมันต์จะขึ้นกับ ชนิดของถ่านกัมมันต์ ค่าความเป็นกรดค่างของ สารละลายและปริมาณ โครเมียมที่มีอยู่ในสารละลาย โดยค่าความเป็นกรดค่างที่เกี่ยวข้องกับประสิทธิภาพ ในกำจัด โครเมียมนั้นต้องพิจารณาทั้งจาก โครงสร้าง เเคมีพื้นผิวและปฏิกิริยาเรตักชันจาก โครเมียม (VI) ไปเป็น โครเมียม (III) ด้วย

งานวิจัยนี้ได้ศึกษาวิธีการเตรียมถ่านกัมมันต์ จากชาน อ้อยโดยการกระตุ้นด้วยกรดฟอสฟอริก สภาวะที่ศึกษา ได้แก่ ปริมาณสารกระตุ้น อุณหภูมิ และเวลาของการกระตุ้น ถ่านกัมมันต์ที่เตรียมได้ถูก นำไปวิเคราะห์เพื่อตรวจสอบลักษณะพื้นผิว พื้นที่ผิว จำเพาะและ โครงสร้างรูพุนภายใน นอกจากนี้ยัง ศึกษาการนำถ่านกัมมันต์ที่เตรียมได้ไปใช้กำจัด โครเมียมจากสารละลาย ปัจจัยที่ศึกษาคือ ค่าความ เป็นกรดค่างของสารละลาย ความเข้มข้นเริ่มต้นของ โครเมียมในสารละลายและอุณหภูมิของการคุณชับ

วัสดุ อุปกรณ์ และวิธีการ

การวิเคราะห์องค์ประกอบของชานอ้อย

ใช้วิธีวิเคราะห์ส่องวิชี ได้แก่ การวิเคราะห์แบบประมาณ (proximate analysis) ตามวิธีการ ASTM (American Standard for Testing Materials) เพื่อหารูปแบบร้อยละของความชื้น (ASTMD2867-95, 1998) สารระเหย (ASTM D5832-95, 1998) เผ้า (ASTM D2866-95, 1998) และการรับอนคงตัว (by difference) และการวิเคราะห์แบบแยกธาตุ (ultimate analysis) ด้วยเครื่องมือวิเคราะห์ธาตุ (C, H, O, N, S analyzer, LECO)

การเตรียมถ่านกัมมันต์

ชานอ้อยที่นำมาเป็นวัตถุคิดในงานวิจัยนี้ ได้รับความอนุเคราะห์จากบริษัทหน้าคลังขนาด จำกัดแก้ส์สำนักงาน จังหวัดนราธิวาส ขึ้นแรก นำชานอ้อยที่ล้างและอบแห้งสนิทแล้ววัดการกระจายขนาด โดยใช้ชุดตะแกรงร่อนพบร่วมกับชานอ้อย มีขนาดอนุภาคเฉลี่ยเท่ากับ 0.80 มิลลิเมตร จากนั้น นำชานอ้อยน้ำหนักประมาณ 10 กรัม มาผสมกับ กระดาษฟอสฟอริกความเข้มข้นร้อยละ 50 โดยน้ำหนัก โดยปรับให้ได้อัตราส่วนโดยน้ำหนักของเนื้อกรด ต่อวัตถุคิด เท่ากับ 0.5 : 1.0, 1.0 : 1.0 และ 1.5 : 1.0 แล้วแช่ทิ้งไว้เป็นเวลาประมาณ 1 ชั่วโมง จากนั้น นำไปกระตุ้นในเตาเผาแบบท่อที่ควบคุมอุณหภูมิ ได้ (Carbolite, U.K.) โดยใช้อัตราการให้ความร้อนที่ 25 องศาเซลเซียสต่อนาที ภายใต้สภาวะบรรยายกาศ ของแก๊สไนโตรเจนที่ไหลด้วยอัตรา 100 มิลลิลิตร ต่อนาที อุณหภูมิการกระตุ้นที่ศึกษา ได้แก่ 300, 400, 500 และ 600 องศาเซลเซียส โดยศึกษาผลของเวลา กระตุ้นที่ 60 และ 120 นาที ถ่านกัมมันต์ที่เตรียมได้ นำมาล้างด้วยน้ำจนวัดค่าความเป็นกรดด่างได้มากกว่า 6.5 จากนั้นนำไปป้อนจนได้น้ำหนักคงที่ แล้วคำนวณ หารือยลดผลผลิต (yield) ของถ่านกัมมันต์ที่ได้

การวิเคราะห์สมบัติของถ่านกัมมันต์

วัตถุคิดชานอ้อยและถ่านกัมมันต์ที่เตรียมได้ จะนำไปวิเคราะห์องค์ประกอบโดยวิธีวิเคราะห์แบบ

ประมาณ (proximate analysis) และวิเคราะห์ลักษณะ โครงการสร้างรูพรุน เพื่อหาค่าพื้นที่ผิวจำเพาะ ปริมาตร และการกระจายขนาดของรูพรุน โดยใช้ข้อมูล ไอโซเทร์มการคัดซับแก๊สไนโตรเจนที่อุณหภูมิ -196 องศาเซลเซียส ด้วยเครื่องวิเคราะห์พื้นที่ผิวที่ห้อง Micromeritics รุ่น ASAP 2010 โดยมีรายละเอียด เพิ่มเติมดังนี้

- ค่าพื้นที่ผิวจำเพาะคำนวณด้วยสมการของ BET (Do, 1998)

- ปริมาตรรูพรุนรวมคำนวณจากปริมาตร ของแก๊สไนโตรเจนที่ถูกคัดซับที่ค่าความดัน สัมพัทธ์เท่ากับ 0.98

- ปริมาตรรูพรุนขนาดเล็ก (< 2 นาโนเมตร) คำนวณโดยใช้สมการของ Dubinin-Radushkevich (Rouquerol et al., 1999)

- ปริมาตรรูพรุนขนาดใหญ่ (> 50 นาโนเมตร) คำนวณจากปริมาตรรูพรุนรวมลบด้วยปริมาตรของ รูพรุนขนาดกลางและขนาดเล็ก

- ขนาดรูพรุนเฉลี่ยคำนวณจาก $4V/A$ โดยที่ V คือปริมาตรรูพรุนรวมและ A คือ พื้นที่ผิวจำเพาะ (BET surface area)

การคัดซับโครงเมียม

ถ่านกัมมันต์ที่นำໄไปใช้ศึกษาการคัดซับ โครงเมียมจากสารละลายเป็นถ่านกัมมันต์ที่เตรียม จากชานอ้อยด้วยกระดาษฟอสฟอริกที่สภาวะอัตราส่วน ของสารกระตุ้นต่อวัตถุคิดเท่ากับ 1 : 1 อุณหภูมิ การกระตุ้น 500 องศาเซลเซียส นาน 60 นาที โดยศึกษาเปรียบเทียบกับถ่านกัมมันต์เกรดการค้า ซึ่งเตรียมจากกลະพะพร้าว โดยการกระตุ้นทางกายภาพ ด้วยไอน้ำ (ผลิตภัณฑ์ของบริษัทชีไฮแกนติก จำกัด จังหวัดนราธิวาส) ผลลัพธ์ของบริษัทชีไฮแกนติก จำกัด จังหวัดนราธิวาส

สารละลายโครงเมียมที่ใช้ศึกษา เตรียมจาก โพแทสเซียมไครโกรเมต ($K_2Cr_2O_7$) โดยมีความเข้มข้นเริ่มต้น 100 และ 500 มิลลิกรัมต่อลิตร (ppm) ก่อนนำไปศึกษาการคัดซับโครงเมียมจากสารละลาย

ถ่านกัมมันต์ทึ้งสองชนิดจะถูกบดและคัดขนาดโดยใช้ตะแกรงร่อนให้ได้ขนาดเล็กกว่า 150 ไมโครเมตร (-100 เมช)

การศึกษาสมดุลการคุณซับโครเมียมใช้การศึกษาในระบบแบบ (Batch) โดยใช้สารละลายโพแทสเซียมไดโครเมต ปริมาณ 200 มิลลิกรัม ผสมกับถ่านกัมมันต์ 0.20 กรัม จากนั้นปรับสารละลายให้มีค่าความเป็นกรดค่าคงเท่ากับ 2.5 แล้วนำไปเพียงที่อุณหภูมิ 30 องศาเซลเซียส ด้วยเครื่องเบเย่แบบควบคุมอุณหภูมิ ใช้อัตราการเบย่า 150 รอบต่อนาที เป็นเวลา 72 ชั่วโมง ซึ่งเป็นระยะเวลาพอดีที่ระบบการคุณซับเข้าสู่ภาวะสมดุล ส่วนการศึกษาผลของการคุณซับของสารละลายใช้สารละลายโครเมียมที่มีความเข้มข้นเริ่มต้น 100 มิลลิกรัมต่อลิตร ปริมาณสารละลาย 200 มิลลิกรัม และปรับค่าความเป็นกรดค่าคงที่ 2, 2.5, 3, 4, 5, 6 และ 7 ด้วยกรดไฮโดรคลอริกและโซเดียมไนเตรตออกไซด์ สำหรับการศึกษาผลของการคุณซับที่ 30, 35 และ 40 องศาเซลเซียส การวิเคราะห์ปริมาณของโครเมียมทึ้งหมดที่เหลือในสารละลายหลังการคุณซับใช้วิเคราะห์ตามมาตรฐาน ASTM (ASTM D1687-92, 1998) ด้วยเครื่องมือวิเคราะห์ Atomic Absorption Spectrophotometer (AAS) ปริมาณการคุณซับโครเมียมทึ้งหมดโดยถ่านกัมมันต์คำนวณได้จากผลต่างของความเข้มข้นเริ่มต้นและความเข้มข้นในสารละลายที่ส่วนผสมลดลงหลังการคุณซับในงานวิจัยนี้ไม่ได้วิเคราะห์โครเมียมที่อยู่ในรูปต่าง ๆ

ผลการทดลองและอภิปรายผล

ผลการเตรียมถ่านกัมมันต์

ผลการวิเคราะห์ของค่าปริมาณแบบแยกชิ้นของชานอ้อยแสดงในตารางที่ 1 พบว่ามีคาร์บอนและออกซิเจนเป็นองค์ประกอบหลักซึ่งการมีคาร์บอนในเบอร์เช็นต์ที่สูง ซึ่งช่วยให้มีความเหมือนกันในการนำไปพัฒนาให้เป็นถ่านกัมมันต์ได้ ส่วนผล

การวิเคราะห์ของค่าปริมาณแบบประมวลของชานอ้อยและของถ่านกัมมันต์ที่เตรียมได้แสดงในตารางที่ 2 พบว่าชานอ้อยมีปริมาณสารระเหยค่อนข้างสูง (88 เบอร์เช็นต์) แต่ปริมาณคาร์บอนคงตัวค่อนข้างต่ำแต่เมื่อนำชานอ้อยมาผ่านกระบวนการกรองก่อถ่านกัมมันต์จะพบว่าที่ทุกสภาวะการเตรียมจะได้ถ่านกัมมันต์ที่มีปริมาณสารระเหยลดลงและมีปริมาณคาร์บอนคงตัวเพิ่มขึ้นมากเกือบถึงร้อยละ 80 เมื่อไม่คิดค่าความชื้น ผลการศึกษาที่ทุกสภาวะของอัตราส่วนของสารกระตุนต่อวัตถุคุณภาพว่าในช่วงอุณหภูมิจาก 300 ถึง 400 องศาเซลเซียส ถ่านกัมมันต์ที่เตรียมได้มีปริมาณสารระเหยลดลงและมีปริมาณคาร์บอนคงตัวเพิ่มขึ้นไปตามอุณหภูมิอย่างชัดเจน แต่การเตรียมในช่วงอุณหภูมิที่สูงขึ้นจาก 500 ถึง 600 องศาเซลเซียส ถ่านกัมมันต์ที่ได้มีปริมาณสารระเหยและคาร์บอนคงตัวค่อนข้างคงที่ แสดงให้เห็นว่าสารอินทรีย์ที่สลายตัวได้ง่ายส่วนใหญ่ได้ระเหยออกไปแล้วดังแต่อุณหภูมิต่ำกว่า 500 องศาเซลเซียส ดังนั้นอุณหภูมิการกระตุนสูงสุดที่ควรใช้จึงไม่ควรเกิน 500 องศาเซลเซียส เมื่อคำนึงถึงประสิทธิภาพของการใช้พลังงาน นอกจากนี้ผลการทดลองยังชี้ว่าการเพิ่มเวลาหรือการเพิ่มอัตราส่วนสารกระตุนต่อวัตถุคุณภาพไม่ทำให้สารระเหยและการรับอนคงตัวเปลี่ยนแปลงมากนัก

สำหรับผลของร้อยละผลผลิตซึ่งแสดงในตารางที่ 2 พบว่าการเพิ่มอุณหภูมิและเวลาในการกระตุนมีผลทำให้ร้อยละผลผลิตของถ่านกัมมันต์ลดลง เนื่องจากมีการสูญเสียน้ำหนักของวัตถุคุณภาพที่สูงมากน้ำหนักมีการกระตุนอย่างไรก็ได้การเพิ่มอัตรา

Table 1. Ultimate analysis of raw bagasse

Elements	Weight %
C	48.1
H	7.5
N	0.3
S	0.02
O	44.1

ส่วนสารกระตุ้นต่อวัตถุดิบส่งผลให้วัสดุและผลผลิตที่ได้แตกต่างกันไม่น่าจะซึ่งชี้ให้เห็นว่าอัตราส่วนของสารกระตุ้นต่อวัตถุดิบค่าสุดที่ใช้ในการทดลองอาจเป็นปริมาณที่พอเพียงแล้ว สำหรับวัสดุและผลผลิตมากที่สุดประมาณ 54 เปอร์เซ็นต์ ได้จากการวิเคราะห์การเตรียมที่อุณหภูมิ 300 องศาเซลเซียส นาน 60 นาที และอัตราส่วนสารกระตุ้นต่อวัตถุดิบท่ากับ 1.5 : 1.0

ตัวอย่างกราฟไออกไซเทิร์มการดูดซับแก๊สในโครงงานของถ่านกัมมันต์จากชานอ้อยแสดงในรูปที่ 1 พบว่าที่อุณหภูมิการกระตุ้นค่า (300 องศาเซลเซียส) หรือใช้อัตราส่วนสารกระตุ้นต่อวัตถุดิบต่ำ (0.5 : 1.0) เสนogrาฟไออกไซเทิร์มแสดงลักษณะเป็นแบบที่ 1 (Type I) ตามระบบการจำแนกของ IUPAC (Gregg and Sing, 1982) และแสดงว่าถ่านกัมมันต์ที่เตรียมได้ภายใต้สภาพดังกล่าวประกอบด้วยรูพรุนขนาดเล็ก (< 2 นาโนเมตร) เป็นส่วนใหญ่ สำหรับถ่านกัมมันต์ที่ได้จากการเตรียมโดยไออกไซต์อุณหภูมิที่สูงขึ้นหรือใช้อัตราส่วนสารกระตุ้น

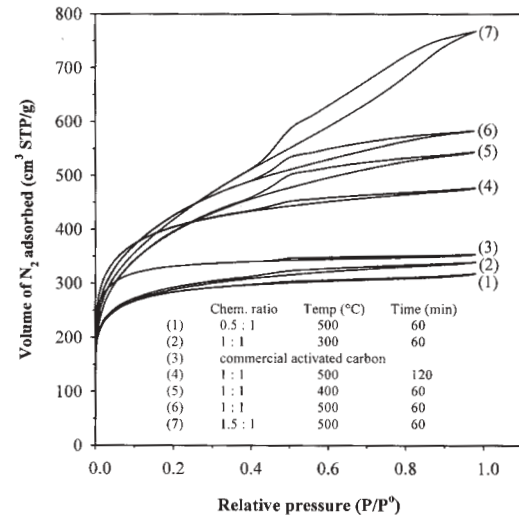


Figure 1. Equilibrium isotherms for N₂ adsorption (-196°C) of chemically activated carbon from bagasse

Table 2. Proximate analyses of bagasse and activated carbon and percentage yield of the prepared activated carbon

Activation conditions	Carbon yield (wt%)	Proximate analysis (wt%)			Moisture content (wt%)
		Ash	Volatile matter	Fixed carbon	
H ₃ PO ₄ : Bagasse (wt : wt)	Time (min)	Temp (°C)	50.2	37	57
			400	21	74
			500	19	76
			600	15	75
1.0	60	300	48.2	37	57
		400	44.3	25	70
		500	42.7	19	72
		600	41.5	19	73
1.5	60	300	53.9	33	62
		400	42.0	18	76
		500	41.1	16	77
		600	39.7	16	77
1.0	120	400	35.3	25	69
		500	32.3	20	75
		600	31.0	21	68
		Bagasse	-	88	10

ต่อวัตถุดิบสูงขึ้นเป็นลำดับ (1.0 : 1.0, 1.5 : 1.0) เส้นกราฟไฮโซเทอร์มมีแนวโน้มที่จะเปลี่ยนเป็นแบบที่ 2 (Type II) กล่าวคือเส้นกราฟมีความชันมากขึ้นและยังเกิด hysteresis loop ระหว่างเส้นกราดูดซับนาเข็นและขาลง ในลักษณะที่มีความกว้างมากขึ้นด้วย ซึ่งชี้ให้เห็นว่าถ่านกัมมันต์เตรียมที่อุณหภูมิสูงขึ้นหรือใช้สัดส่วนของสารกระตุ้นที่มากขึ้น จะทำให้เกิดปริมาณของรูพรุนขนาดกลาง (2 - 50 นาโนเมตร) ที่เพิ่มขึ้นด้วย

ผลของสภาวะกระตุ้นที่มีต่อค่าพื้นที่ผิวและปริมาณรูพรุน แสดงสรุปไว้ในตารางที่ 3 และในรูปที่ 2 ถึง 4 ตามลำดับ สำหรับถ่านกัมมันต์ที่เตรียมโดยใช้อัตราส่วนสารกระตุ้นต่อวัตถุดิบต่ำ (0.5 : 1.0) เมื่อเพิ่มอุณหภูมิจาก 300 เป็น 400 องศาเซลเซียส พบว่าพื้นที่ผิวจำเพาะและปริมาณรูพรุนมีค่าเพิ่มขึ้น โดยมีการเพิ่มปริมาณของรูพรุนทุกขนาด แต่เมื่ออุณหภูมิเพิ่มไปที่ 500 องศาเซลเซียส ทั้งพื้นที่ผิวจำเพาะและปริมาณรูพรุนเริ่มมีค่าลดลง โดยที่อุณหภูมิ 600 องศาเซลเซียส จะมีค่าลดลงจนใกล้

เคียงกับค่าที่ 300 องศาเซลเซียส ส่วนถ่านกัมมันต์ที่เตรียมโดยใช้อัตราส่วนของสารกระตุ้นต่อวัตถุดิบที่สูงขึ้น (1.0 : 1.0 และ 1.5 : 1.0) เมื่อเพิ่มอุณหภูมิจาก 300 ไปที่ 400 และ 500 องศาเซลเซียส พบว่าพื้นที่ผิวจำเพาะและปริมาณรูพรุนยังคงมีค่าเพิ่มขึ้น แต่ที่อุณหภูมิกระตุ้น 600 องศาเซลเซียส ถ่านกัมมันต์เตรียมที่อัตราส่วนสารกระตุ้นต่อวัตถุดิบ 1 : 1 มีพื้นที่ผิวจำเพาะและปริมาณรูพรุนลดลงในขณะที่การใช้อัตราส่วนสารกระตุ้นต่อวัตถุดิบ 1.5 : 1.0 ยังคงให้พื้นที่ผิวและปริมาณรูพรุนใกล้เคียงกับที่อุณหภูมิ 500 องศาเซลเซียส สำหรับผลของระยะเวลาในการกระตุ้น พบว่าการกระตุ้นที่อุณหภูมิ 400 องศาเซลเซียส และอัตราส่วนสารกระตุ้นต่อวัตถุดิบ 1 : 1 การใช้เวลาการกระตุ้นนานขึ้นจาก 60 เป็น 120 นาที ส่งผลให้พื้นที่ผิวจำเพาะและปริมาณรูพรุนมีแนวโน้มเพิ่มสูงขึ้นจาก 1,399 เป็น 1,574 ลูกบาศก์เมตรต่อกรัม (เพิ่ม 12.5 เปอร์เซ็นต์) และจาก 0.84 เป็น 0.95 ลูกบาศก์เมตรต่อกรัม (เพิ่ม 13.1 เปอร์เซ็นต์) ตามลำดับ แต่ถ้ากระตุ้นที่

Table 3. Porous characteristics of activated carbon prepared from bagasse under different activation conditions

Activation conditions			Average pore size (nm)	Pore volume (cm ³ /g)			Total	Surface area (m ² /g)
H ₃ PO ₄ : Bagasse (wt : wt)	Time (min)	Temp (°C)		<2 nm	(2-50 nm)	>50 nm		
0.5	60	300	855	0.26	0.11	0.05	0.42	1.97
		400	1,279	0.39	0.15	0.08	0.62	1.92
		500	1,008	0.28	0.13	0.08	0.49	1.95
		600	901	0.28	0.10	0.05	0.43	1.91
1.0	60	300	1,024	0.27	0.18	0.07	0.52	2.05
		400	1,399	0.12	0.53	0.19	0.84	2.42
		500	1,500	0.13	0.56	0.21	0.90	2.40
		600	1,294	0.18	0.38	0.16	0.72	2.23
1.5	60	300	1,002	0.25	0.19	0.07	0.51	2.05
		400	1,527	0.06	0.87	0.20	1.13	2.98
		500	1,467	0.05	0.96	0.18	1.19	3.24
		600	1,474	0.04	0.97	0.21	1.22	3.30
1.0	120	400	1,574	0.18	0.58	0.19	0.95	2.42
		500	1,434	0.33	0.27	0.13	0.73	2.06
		600	1,294	0.17	0.40	0.17	0.74	2.30

อุณหภูมิสูงกว่า 400 องศาเซลเซียส การใช้เวลากระตุนนานขึ้น ทำให้พื้นที่ผิวจำเพาะและปริมาตรรพุนรวมต่างกันน้อยมาก (ลดลง ~2 เปอร์เซ็นต์ที่อุณหภูมิ 500 องศาเซลเซียส และค่อนข้างคงที่ที่ 600 องศาเซลเซียส)

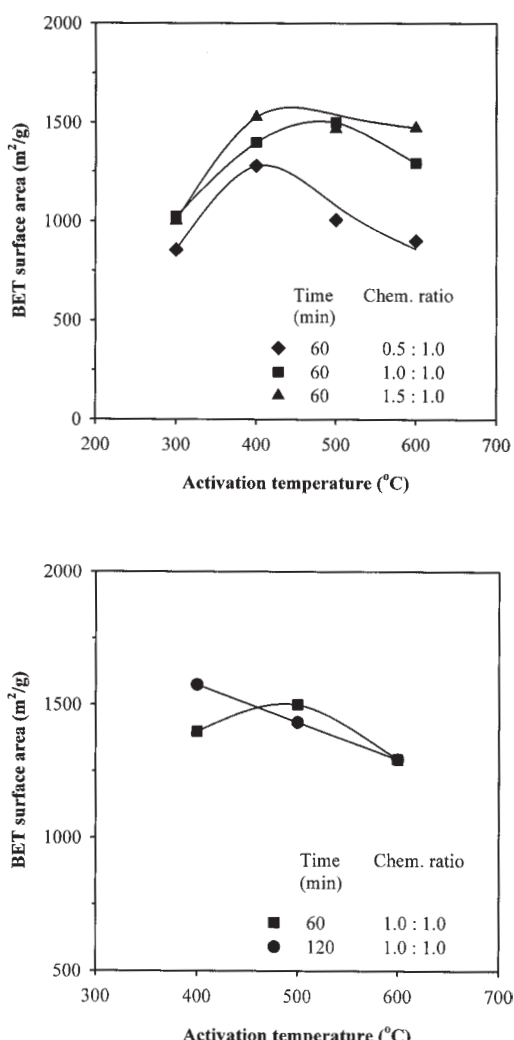


Figure 2. Effect of activation condition on BET surface area of prepared activated carbon

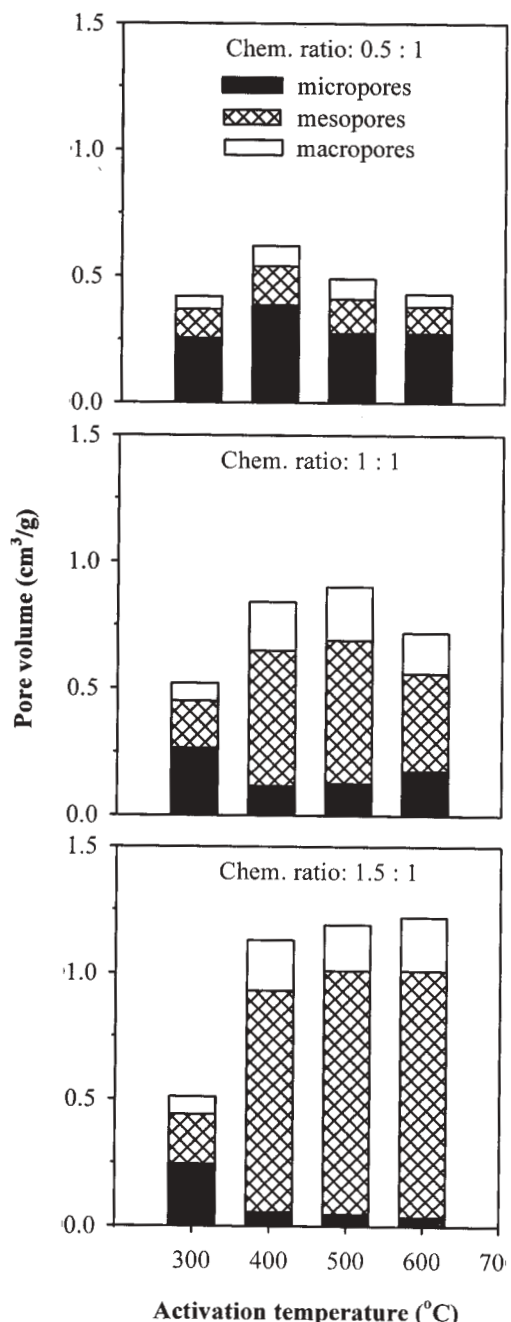


Figure 3. Effects of activation temperature and chemical ratio on pore volume of prepared activated carbon (activation time : 60 min)

จากผลวิจัยที่ได้พบว่าการใช้อัตราส่วนสารกระตุ้นต่อวัตถุคุบิที่มากจะช่วยให้กรดฟอสฟอริกสามารถทำปฏิกิริยากับชานอ้อยได้มากทำให้สารอินทรีย์ต่างๆ ในวัตถุคุบิหลุดออกไปในรูปของเหลวและเก๊าได้มาก มีผลทำให้ค่าพื้นที่ผิวจำเพาะและปริมาตรรูพรุนของถ่านกัมมันต์มีค่าเพิ่มขึ้นตามไปด้วยและยังทำให้โครงสร้างรูพรุนขนาดกลางมีปริมาณมากขึ้น ส่วนผลของอุณหภูมน้ำที่สูงปีก้าว่าที่อุณหภูมิการกระตุ้นสูงกว่า 400 องศาเซลเซียส

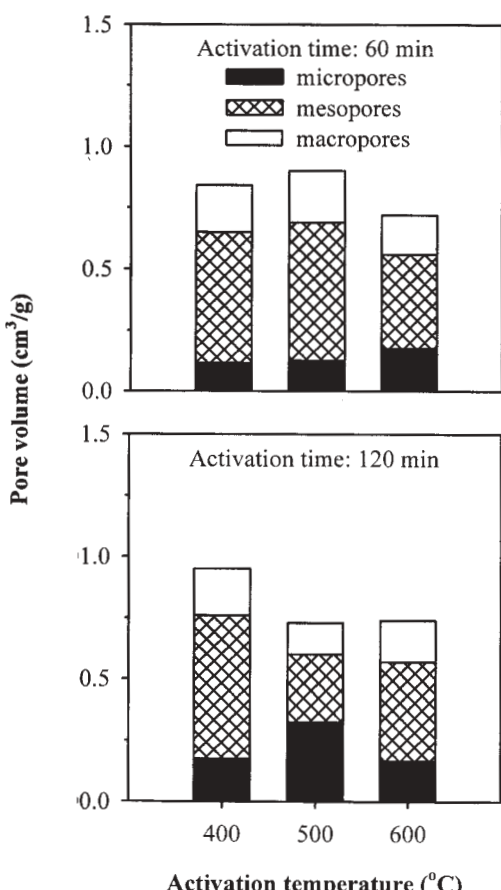


Figure 4. Effects of activation temperature and time on pore volume of prepared activated carbon (chemical ratio: 1.0 : 1.0)

จะไม่มีผลมากนักต่อค่าพื้นที่ผิวจำเพาะ และปริมาตรรูพรุนของถ่านกัมมันต์เครื่ยมที่อัตราส่วนสารกระตุ้นต่อวัตถุคุบิที่สูง (1.5 : 1.0) แต่มีผลทำให้พื้นที่ผิวจำเพาะลดลงในถ่านกัมมันต์ที่เครื่ยมโดยใช้อัตราส่วนของสารกระตุ้นที่ต่ำ (0.5 : 1.0) ผลที่ได้นี้อาจอธิบายได้ว่าการกระตุ้นที่อุณหภูมิสูงสำหรับชานอ้อยที่ใช้กรดฟอสฟอริกในปริมาณมากทำให้เกิดการเชื่อมโยงโครงสร้างฟอสเฟตເອສເທັຣ (Phosphate ester) ในชานอ้อยได้มากขึ้น ส่งผลให้เกิดโครงสร้างแบบบริจิดเมทริกซ์ (Rigid matrix) (Jagtoyen and Derbyshire, 1998) ซึ่งจะช่วยลดการหดตัวของโครงสร้างรูพรุนในถ่านกัมมันต์ขณะเดียวกันยังทำให้โครงสร้างรูพรุนถ่างออกโดยฟอสเฟตເອສເທັຣสามารถกำจัดออกได้โดยการล้าง ทำให้ความพรุนของถ่านกัมมันต์เพิ่มขึ้น เกิดเป็นรูพรุนขนาดกลางที่มากขึ้นด้วย ส่วนในชานอ้อยที่มีกรดฟอสฟอริกอยู่น้อยเมื่ออุณหภูมิสูงโครงสร้างถ่านกัมมันต์จะเกิดการหดตัวมาก ส่งผลให้พื้นที่ผิวจำเพาะลดลงได้

รูปที่ 5 แสดงภาพถ่าย SEM ของพื้นผิวรูพรุนของวัตถุคุบิชานอ้อยและถ่านกัมมันต์ที่เครื่ยมจากชานอ้อย โดยการวิเคราะห์ด้วยกล้องจุลทรรศน์อิเล็กตรอนแบบส่องคราด พบร่วมเมื่อผ่านการกระตุ้นแล้วจะได้ถ่านกัมมันต์ที่มีความพรุนสูงและเมื่อเพิ่มปริมาณสารเคมีที่ใช้กระตุ้นในช่วง 0.5 : 1.0 ถึง 1.5 : 1.0 พบร่วมจะได้ถ่านกัมมันต์ที่มีขนาดและปริมาตรรูพรุนเพิ่มขึ้น

การดูดซับໂຄຣເມີນດ້ວຍถ่านກัมมันต์

ผลของความເຂັ້ມງັນເຮັດຕັ້ງ

ถ่านกัมมันต์จากชานอ้อยที่นำໄປศึกษาการดูดซับໂຄຣເມີນจากสารละลายเป็นตัวอย่างถ่านกัมมันต์เครื่ยมที่อัตราส่วนสารกระตุ้นต่อวัตถุคุบิ 1.0 : 1.0 อุณหภูมิ 500 องศาเซลเซียส และเวลา 60 นาที ซึ่งมีพื้นที่ผิวจำเพาะ 1,500 ตารางเมตรต่อกิโลกรัม และปริมาตรรูพรุนรวม 0.90 ลูกบาศก์เซนติเมตรต่อกิโลกรัม รูปที่ 6 แสดงผลของเวลาต่อการลดลงของความເຂັ້ມງັນของໂຄຣເມີນໃນสารละลาย

ที่ความเข้มข้นเริ่มต้นเท่ากับ 100 และ 500 มิลลิกรัมต่อลิตร สำหรับถ่านกัมมันต์เกรดการถ้า (พื้นที่ผิว 1,180 ลูกลาศก้าเมตรต่อกรัม และปริมาตรรูพรุนรวม 0.60 ลูกลาศก้าเมตรต่อกรัม) และถ่านกัมมันต์จากชานอ้อย (พื้นที่ผิว 1,500 ลูกลาศก้า เมตรต่อกรัม และปริมาตรรูพรุนรวม 0.90 ลูกลาศก้า เมตรต่อกรัม) พนวิ่งความเข้มข้นของโครงเมียมจะลดลงอย่างรวดเร็วในช่วงเวลา 20 ชั่วโมงแรกของ การคุณภาพและใช้เวลาประมาณ 50 ชั่วโมง จึงเห็นสู่ สภาพสมดุล ผลที่ได้พอกสรุปได้ว่าความเข้มข้น เริ่มต้นของสารละลายทั้งสองค่าไม่มีผลต่อเวลาที่เห็นสู่

สมดุลการคุณภาพ เป็นที่สังเกตว่าความเข้มข้นเริ่มต้น จะมีผลต่อประสิทธิภาพในการกำจัดโครงเมียม จากสารละลายโดยเมื่อใช้น้ำหนักของถ่านกัมมันต์ คงที่พบว่าที่สภาพสมดุลถ่านกัมมันต์จากชานอ้อย สามารถกำจัดโครงเมียมจากสารละลายด้วย ประสิทธิภาพเท่ากับ 75 และ 40 เปอร์เซ็นต์ สำหรับ ความเข้มข้นเริ่มต้นของโครงเมียมเท่ากับ 100 และ 500 มิลลิกรัมต่อลิตรตามลำดับ และถ่านกัมมันต์เกรด การถ้ามีประสิทธิภาพการคุณภาพโครงเมียมดีกว่า ถ่านกัมมันต์จากชานอ้อยโดยเฉลี่ยประมาณ 10 เปอร์เซ็นต์

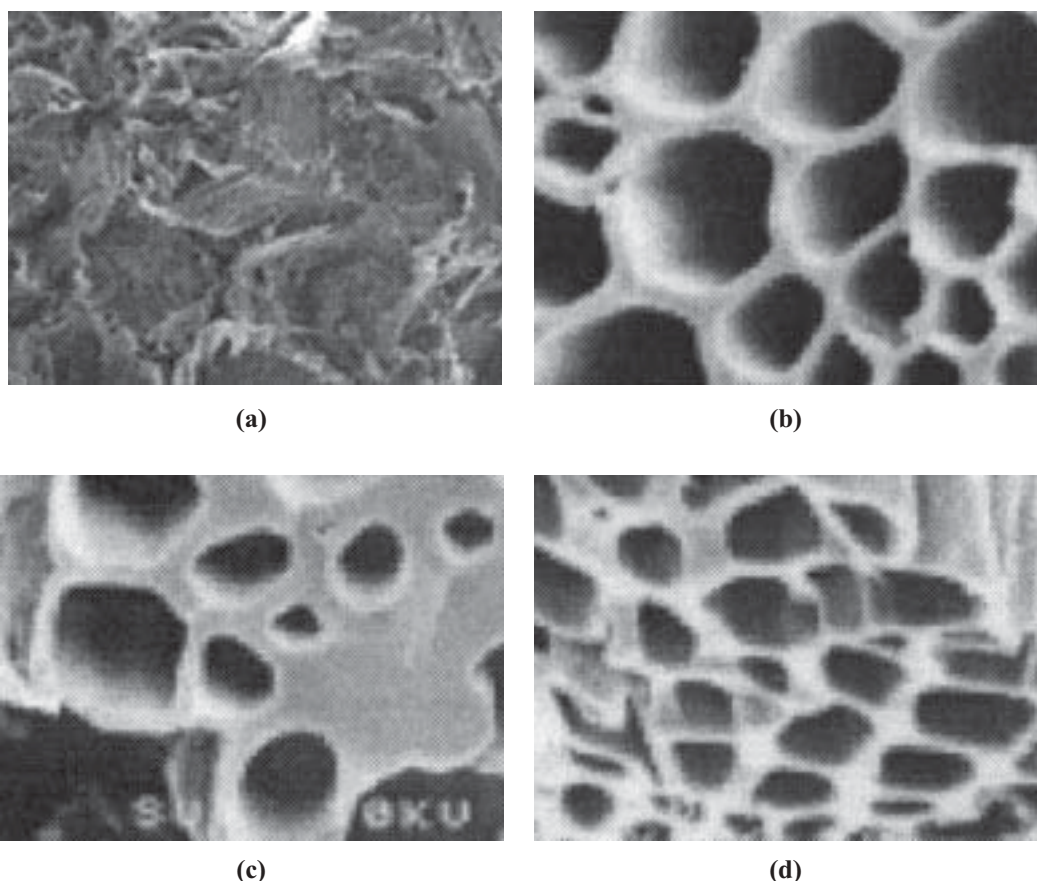


Figure 5. SEM micrographs of bagasse (a) and bagasse derived activated carbon: (b) chem. ratio 0.5 : 1/500°C/60 min; (c) 1.0 : 1.0/500°C/60 min, (d) 1.5 : 1.0/500°C/60 min

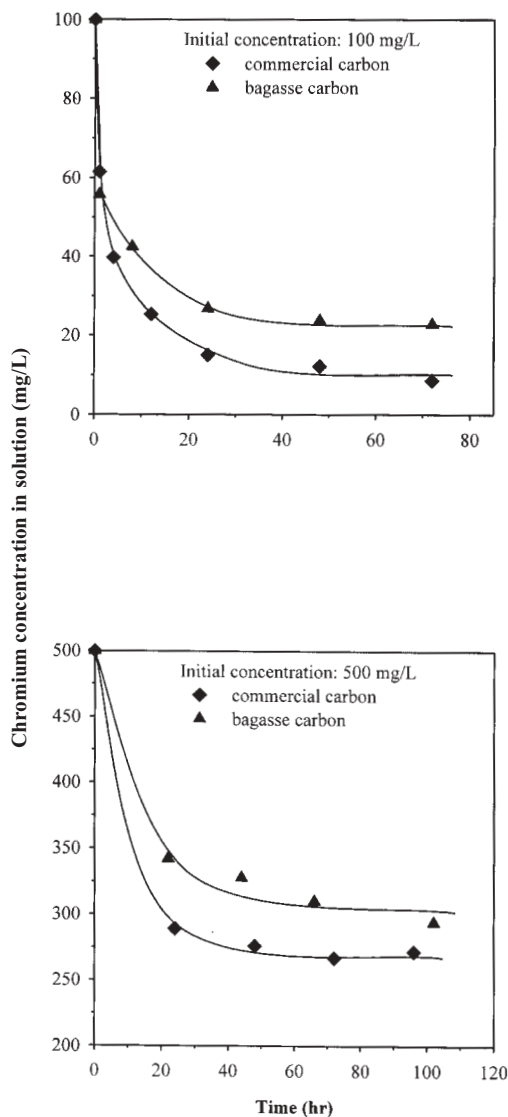


Figure 6. Variation of chromium concentration in solution on adsorption with activated carbon at two initial chromium concentrations (temperature: 30°C, pH = 2.5, volume of solution: 200 cm³, carbon weight: 0.20 g)

ผลของความเป็นกรดค้าง

ผลของความเป็นกรดค้างของสารละลายน้ำต่อความสามารถในการดูดซับโครเมียมของถ่านกัมมันต์แสดงในรูปที่ 7 ผลการศึกษาพบว่าความเป็นกรดค้างของสารละลายน้ำมีอิทธิพลเป็นอย่างมากต่อประสิทธิภาพในการกำจัดโครเมียม ทั้งจากการใช้ถ่านกัมมันต์เกรดการค้าและถ่านกัมมันต์ที่เตรียมจากชานอ้อย โดยถ่านกัมมันต์ทั้งสองชนิดสามารถกำจัดโครเมียมได้มากกว่า 50 เปอร์เซ็นต์ เมื่อความเป็นกรดค้างของสารละลายน้ำมีค่าต่ำกว่า 3.0 โดยมีร้อยละการกำจัดโครเมียมสูงสุด (82 และ 90 เปอร์เซ็นต์ สำหรับถ่านกัมมันต์จากชานอ้อยและถ่านกัมมันต์เกรดการค้าตามลำดับ) ที่ค่าความเป็นกรดค้างของสารละลายน้ำเท่ากับ 2.5 อธิบายได้ว่าที่สภาวะสารละลายน้ำมีค่าความเป็นกรดค้างต่ำนี้ Cr(VI) ส่วนใหญ่จะอยู่ในรูปของ HCrO₄ (Selomulya et al., 1999) ซึ่งสามารถดูดซับด้วยถ่านกัมมันต์

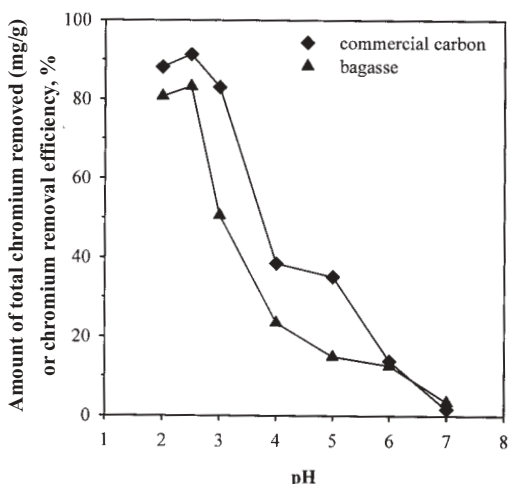
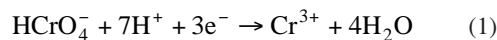


Figure 7. Effect of pH on the removal of chromium from solution by activated carbons (temperature: 30°C, initial chromium concentration: 100 mg/L, volume of solution: 200 cm³, carbon weight: 0.20 g)

ได้โดยตรงและยังมีบางส่วนเกิดปฏิกิริยาเรียดักชันของ Cr (VI) ไปเป็น Cr (III) ดังสมการ



โดย Cr^{3+} ที่เกิดขึ้นสามารถดูดซับด้วยถ่านกัมมันต์ได้เช่นกัน ปฏิกิริยาเรียดักชันดังกล่าวเกิดขึ้นได้เนื่องจาก Cr (VI) เป็นตัวออกซิไดซ์ที่แรงและสารละลายน้ำด้วยความเป็นกรดค่อนข้าง (H⁺) ในปริมาณมาก แต่ในสภาพที่มีความเป็นกรดค่อนข้างน้ำมันโดยทั่วไปจะไม่สามารถดูดซับ Cr (VI) ได้ด้วย ดังนั้นมือไอออนลบ CrO_4^{2-} และ $\text{Cr}_2\text{O}_7^{2-}$ ได้ด้วย ดังนั้nmือไอออนลบเหล่านี้ถูกดูดซับบนพื้นผิวของถ่านกัมมันต์บางส่วน แล้วจะเกิดการเกิดกันซึ่งกันและกัน เนื่องจากแรงผลักของไอออนนิตเดียวทัน นอกจากนั้นสารละลายน้ำมีปริมาณ OH⁻ อยู่มาก ซึ่งอาจเข้าเยี่ยงพื้นที่ในการดูดซับได้ด้วย ปัจจัยทั้งหมดนี้อาจประกอบกันเข้าส่งผลให้การดูดซับโครเมียมเกิดขึ้นได้น้อยในสภาพที่สารละลายน้ำมีความเป็นกรดค่อนข้างน้ำมัน

ไอโซเทิร์มของการดูดซับ

รูปที่ 8 แสดงไอโซเทิร์มการดูดซับโครเมียมด้วยถ่านกัมมันต์จากชานอ้อย พบร่วมปริมาณการดูดซับโครเมียมเพิ่มขึ้นอย่างรวดเร็วในช่วงแรกจากนั้นปริมาณการดูดซับมีแนวโน้มคงที่ ซึ่งลักษณะของไอโซเทิร์มที่ได้นี้น่าจะอธิบายได้ด้วยสมการดูดซับแบบลงเมียร์ (Langmuir isotherm) ซึ่งมีรูปแบบของสมการเป็นดังนี้

$$q_e = \frac{bq_m C_e}{1 + bC_e} \quad (2)$$

ซึ่งสามารถจัดให้อยู่ในรูปสมการเด็นตร์ได้เป็น

$$C_e/q_e = (1/bq_m) + (C_e/q_m) \quad (3)$$

เมื่อ C_e = ความเข้มข้นของตัวถูกดูดซับในสารละลายน้ำสมดุล (มิลลิกรัมต่อลิตร)

q_e = ปริมาณดูดซับที่สภาวะสมดุล (มิลลิกรัมต่อกิโลกรัม)

q_m = ปริมาณการดูดซับสูงสุดสำหรับการดูดซับแบบชั้นเดียว (มิลลิกรัมต่อกิโลกรัม)

b = ค่าคงที่ของการดูดซับ (มิลลิกรัมต่อลิตร)⁻¹

เมื่อเขียนกราฟความสัมพันธ์ระหว่าง C_e/q_e กับ C_e ได้กราฟเป็นเส้นตรงดังแสดงในรูปที่ 9 ซึ่งแสดงว่าสามารถແลงเมียร์สามารถใช้อธิบายลักษณะไอโซเทิร์มของการดูดซับโครเมียมได้ ก่า q_m และ b ที่คำนวณจากความชันและจุดตัดแกนของกราฟแสดงในตารางที่ 4 พร้อมกับค่าสัมประสิทธิ์การคาดถอย (regression coefficient, r^2) จะเห็นว่าความสามารถในการดูดซับโครเมียมในรูปของ q_e มีค่าเพิ่มขึ้นตามอุณหภูมิของการดูดซับในช่วงอุณหภูมิ 30 ถึง 40 องศาเซลเซียส ดังนั้นสรุปได้ว่าการดูดซับโครเมียมด้วยถ่านกัมมันต์เป็นการดูดซับแบบดูดคว้านร้อน และเกี่ยวข้องกับการดูดซับทางเคมีมากกว่าเป็นการดูดซับทางกายภาพเพียงอย่างเดียว ซึ่งผลการทดลองนี้สอดคล้องกับผลการศึกษาโดย Singh and Tiwari (1997)

Table 4. Langmuir constants for adsorption of chromium from solution by bagasse activated carbon at three different temperatures (pH of solution = 2.5)

Temperature (°C)	q_m (mg/g)	b (mg/L) ⁻¹	r^2
30	103	0.1638	0.999
35	213	0.0434	0.995
40	250	0.0362	0.996

ผลผลิตศาสตร์ของการดูดซับ

นอกจากศึกษาสมดุลการดูดซับโครเมียมจากสารละลายน้ำแล้ว งานวิจัยนี้ยังได้วิเคราะห์ ผลผลิตศาสตร์ของการดูดซับโครเมียม (ข้อมูลการดูดซับโครเมียมก่อนเข้าสู่ภาวะสมดุล) โดยใช้รูปแบบของสมการอัตราเร็วปฏิกิริยาอันดับ n (Hamadi et al., 2000) ดังสมการ

$$\frac{dq}{dt} = k_n (q_e - q)^n \quad (4)$$

เมื่อ q = ปริมาณการดูดซับที่เวลา t ได้ η
(มิลลิกรัมต่อกิโลกรัม)

k = ค่าคงที่ของอัตราเร็วการดูดซับ

n = อันดับของสมการอัตราเร็ว
ถ้าให้ผลผลิตศาสตร์การดูดซับเป็นไปตามสมการ

อัตราเร็วแบบอันดับหนึ่งจะได้

$$\frac{dq}{dt} = k_1 (q_e - q) \quad (5)$$

เมื่อันทิเกรตสมการ (5) แล้วขัดสมการให้อยู่ในรูปสมการเส้นตรงจะได้

$$\log (q_e - q) = \log q_e - k_1 t / 2.303 \quad (6)$$

โดยที่ k_1 คือค่าคงที่ของอัตราเร็วการดูดซับและหาได้จากการชั้นของกราฟความสัมพันธ์ระหว่าง

$$\log (q_e - q) \text{ กับเวลา } (t)$$

ถ้าอัตราเร็วการดูดซับเป็นไปตามสมการ อัตราเร็วแบบอันดับสอง สมการ (4) เผยนี้ได้เป็น

$$\frac{dq}{dt} = k_2 (q_e - q)^2 \quad (7)$$

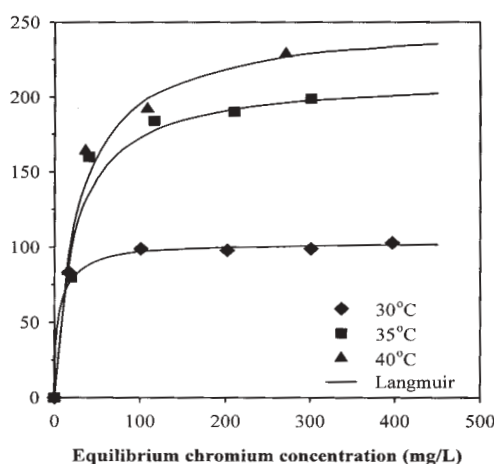


Figure 8. Effect of temperature on equilibrium isotherms for adsorption of chromium from solution by bagasse activated carbon (pH = 2.5, initial chromium concentration = 100 mg/L)

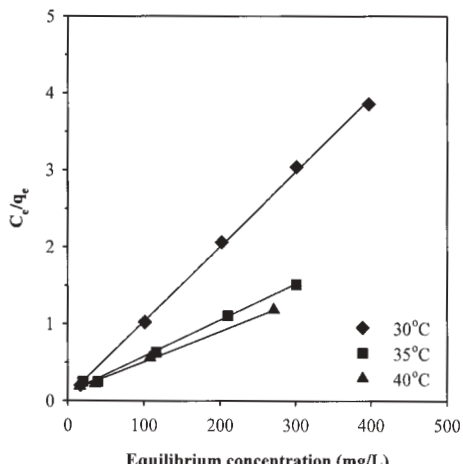


Figure 9. Langmuir isotherm plots for the adsorption of chromium from solution by bagasse activated carbon (pH = 2.5)

หลังจากอินทิเกรตและจัดให้อยู่ในรูปของสมการ
เส้นตรงจะได้

$$\left(t/q \right) = \left(1/k_2 q_e^2 \right) + \left(t/q_e \right) \quad (8)$$

โดยที่ k_2 ค่านิวน์ได้จากการความชันและจุดตัดแกน y
ของกราฟความสัมพันธ์ระหว่าง t/q กับเวลา (t)

จากการทดสอบรูปแบบของสมการอัตราเร็ว
ทั้งสองแบบกับการคุณซับโครเมียมที่อุณหภูมิ 30
องศาเซลเซียส ค่าความเป็นกรดค่าต่างของสารละลายน้ำ
2.5 และความเข้มข้นเริ่มต้นของสารละลายน้ำเท่ากับ
100 มิลลิกรัม โครเมียมต่อลิตร โดยใช้ถ่านกัมมันต์
จากชานอ้อย พบร่วมกับการทดสอบรูปแบบอันดับสอง
สามารถอธิบายข้อมูลจนผลศาสตร์ของการคุณซับ
ได้ดีที่สุด (รูปที่ 10) และค่า k_2 ที่ค่านิวน์ได้เท่ากับ
 11×10^{-5} กรัมต่อมิลลิกรัม-นาที สำหรับถ่านกัมมันต์
เกรดการค้าได้ค่า k_2 เท่ากับ 7.8×10^{-5} กรัมต่อมิลลิกรัม-นาที ค่า k_2 ที่หาได้เนื่องจากเดียว
กับค่าที่รายงานโดย Kobyra (2004) $k_2 = 7 \times 10^{-5}$
กรัมต่อมิลลิกรัม-นาที ซึ่งได้ศึกษาการกำจัดโครเมียม
โดยใช้ถ่านกัมมันต์ที่เตรียมจากเปลือกของ Hazelnut
โดยวิธีกราฟต้นด้วยกรดซัลฟิวริก ความแตกต่าง
ของค่า k_2 เป็นผลมาจากการความแตกต่างของลักษณะ
โกรงสร้างรูพรุนภายในของถ่านกัมมันต์ ซึ่งขึ้นกับ
ชนิดของวัตถุคุณภาพและวิธีและสภาพการเตรียม

บทสรุป

ชานอ้อยเป็นวัตถุคุณภาพตั้งต้นที่มีศักยภาพสูงในการ
นำมายผลิตเป็นถ่านกัมมันต์ด้วยกรดฟอสฟอริก
โดยสภาพการเตรียมที่เหมาะสมที่ทำให้ได้พื้นที่ผิว
จำเพาะสูงสุดเท่ากับ 1,574 ตารางเมตรต่อกิโลกรัม ได้แก่
ที่สภาพอัตราส่วนสารกระตุ้นต่อวัตถุคุณภาพ 1.0 : 1.0
อุณหภูมิ 400 องศาเซลเซียสและระยะเวลา 120 นาที
การเพิ่มอุณหภูมิและเวลาของการกระตุ้นในการ
เตรียมถ่านกัมมันต์ทำให้ร้อยละผลผลิตที่ได้ลดลง
สำหรับการเพิ่มอัตราส่วนของสารกระตุ้นต่อวัตถุคุณ
พบร่วมกับการเพิ่มอัตราส่วนของสารกระตุ้นต่อวัตถุคุณ
พบร่วมกับการเพิ่มอัตราส่วนของสารกระตุ้นต่อวัตถุคุณ

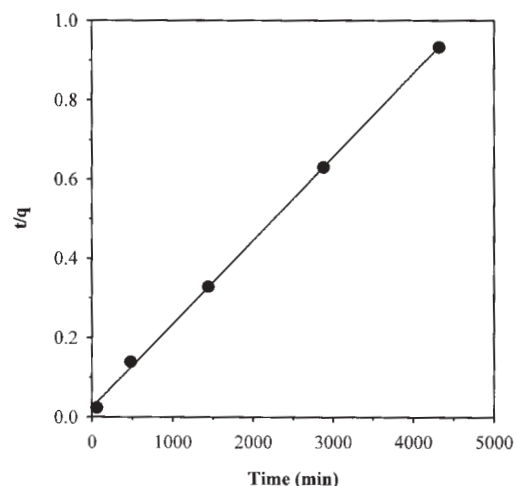
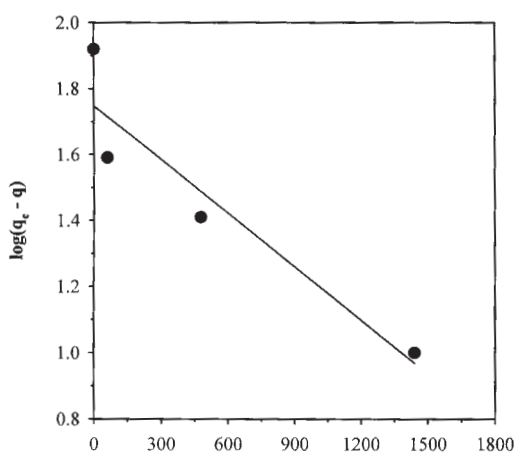


Figure 10. Testing of first- and second-order rate model for the adsorption kinetics of chromium in solution by bagasse activated carbon (adsorption temperature: 30°C, pH = 2.5, initial chromium concentration: 100 mg/L, volume of solution: 200 cm³, carbon weight: 0.20 g)

จำเพาะเพิ่มขึ้นและทำให้เกิดรูปรูนขนาดกลางมากขึ้นด้วย การใช้อุณหภูมิกระตุ้นที่สูงกว่า 400 องศาเซลเซียสไม่ทำให้เกิดการเปลี่ยนแปลงของพื้นที่ผิว จำเพาะและปริมาณครรภูรูปขนาดนัก แต่การใช้อุณหภูมิสูงกว่า 400 องศาเซลเซียส และอัตราส่วนสารกระตุ้นต่อวัตถุคุณภาพที่ต่ำมีผลทำให้พื้นที่ผิวจำเพาะลดลงได้

สำหรับการนำถ่านกันมันต์ไปใช้กำจัดโครเมียมจากสารละลายโดยกระบวนการคุณชั้นน้ำถ่านกันมันต์ที่เตรียมจากการอ้อยมีประสิทธิภาพในการกำจัดโครเมียมได้ดีเกือบทั่วถ่านกันมันต์เกรดค้า โดยการกำจัดโครเมียมเกิดได้เมื่อสารละลายมีค่าความเป็นกรดค่าคงตัวเท่ากับ 2.5 และกำจัดได้มากขึ้นในสภาวะอุณหภูมิของสารละลายที่สูงขึ้น สมการการคุณชั้นแบบแลงมิร์ (Langmuir isotherm) สามารถใช้อธิบายไฮโลเทิร์นการคุณชั้นโครเมียมจากสารละลายได้ดี สำหรับしながらลดลงพลาสติกของการคุณชั้นโครเมียมจากสารละลายด้วยถ่านกันมันต์พบว่าเป็นแบบอัตราเร็วอันดับสองโดยมีค่าคงที่ของอัตราเร็วการคุณชั้นเท่ากับ 7.8×10^{-5} และ 11×10^{-5} กรัมต่อมิลลิกรัม-นาที สำหรับถ่านกันมันต์เกรดค้าและถ่านกันมันต์จากงานอ้อยตามลำดับ เนื่องจากประสิทธิภาพการคุณชั้นขึ้นกับอุณหภูมิของการคุณชั้น งานที่ควรศึกษาต่อไปคือ การศึกษาผลของอุณหภูมิที่มีต่อจำนวนพลาสติกของการคุณชั้นโครเมียม หรือศึกษาการคุณชั้นโครเมียมโดยใช้ถ่านกันมันต์ที่เตรียมจากวัตถุคุณภาพที่ต่างๆ หรือศึกษาผลของการปรับสภาพพื้นผิวทางเคมีของถ่านกันมันต์ต่อการกำจัดโครเมียม เป็นต้น

กิตติกรรมประกาศ

คณะผู้วิจัยขอขอบคุณมหาวิทยาลัยเทคโนโลยีสุรนารี ที่ได้สนับสนุนทุนอุดหนุนการวิจัยประจำปีงบประมาณ พ.ศ. 2545 - 2546 สำหรับโครงการวิจัยนี้ (รหัสโครงการ SUT7-706-45-24-11)

เอกสารอ้างอิง

Annual Book of ASTM Standards. (1998). Standard Test Method for Moisture in

- Activated Carbon-D2867-95. 15.01. 709-711. United States of America, p. 856.
- Annual Book of ASTM Standards. (1998). Standard Test Method for Volatile Matter Content of Activated Carbon D5832-95. 15.01.782. United States of America, p. 856.
- Annual Book of ASTM Standards. (1998). Standard Test Method for Total Ash Content of Activated Carbon-D2866-94. 15.01.707-708. United States of America, p. 856.
- Annual Book of ASTM Standards. (1998). Standard Test Methods for Chromium in Water-D1687-92. 11.01. United States of America,
- Allen, T. (1999). Particle Size Measurement, volume 2: Surface Area and Pore Size Determination. 5th ed. Kluwer Academic Publishers, p. 122-130.
- Castro, J., Bonelli, R., Cerrella, G., and Cukierman, L. (2000). Phosphoric acid activation of agricultural residues and bagasse from sugar cane: Influence of the experimental conditions on adsorption characteristics of activated carbons. Ind. Eng. Chem. Res., 39:4,166-4,172.
- Do, D.D. (1998). Adsorption Analysis: Equilibria and Kinetics. Imperial College Press, London, UK, p. 91-92.
- Girgis, S., Yunis, S., and Soliman, M. (2002). Characteristics of activated carbon from peanut hulls in relation to conditions of preparation. Materials Letters, 57: 164-172.
- Gregg, S.J., and Sing, K.S.W. (1982). Adsorption, Surface Area and Porosity. 2nd ed. Academic Press, p. 37-38.
- Hamadi, K., Chen, X.D., Farid, M., and Lu, G.Q. (2000). Adsorption kinetics for the removal of Chromium (VI) from aqueous solution by adsorbents derived from used tyres and sawdust. Chem. Eng. J., 84: 95-105.
- Jagtoyen, M., and Derbyshire, F. (1998). Activated carbons from yellow poplar and white oak by H₃PO₄ activation. Carbon, 36:1,085-1,097.

- Kobya, M. (2004). Adsorption, kinetic and equilibrium studies of Cr (VI) by hazelnut shell activated carbon. *Adsorption Science & Technology*, 22(1):51-64.
- Ouki, S.K., and Neufeld, R.D. (1997). Use of activated carbon for the recovery of chromium from industrial wastewaters. *J. Chem. Tech. Biotechnol.*, 70:3-8.
- Punsuwan, N. (2002). Preparation and characterization of activated carbon from lignite coal and bagasse by chemical activation method, [M. Eng. thesis]. School of Chemical Engineering, Institute of Engineering, Suranaree University of Technology, Nakhon Ratchasima, Thailand, p. 112.
- Rouquerol, F., Rouquerol, J., and Sing, K. (1999). *Adsorption by Powders and Porous Solids*. Academic Press, London, UK, p. 110-112.
- Selomulya, C., Meeyoo, V., and Amal, R. (1999). Mechanisms of Cr (VI) removal from water by various types of activated carbons. *J. Chem. Tech. Biotechnol.*, 74:111-122.
- Selvi, K., Pattabhi, S., and Kadirvelu, K. (2001). Removal of Cr (VI) from aqueous solution by adsorption onto activated carbon. *Bioresource Technology*, 80: 87-89.
- Singh, K., and Tiwari, N. (1997). Removal and recovery of Chromium (VI) from industrial wastewater. *J. Chem. Tech. Biotechnol.*, 69:376-382.
- The Customs Department, Ministry of Finance. (2005). Import/Export Statistics. Available from: <http://www.customs.go.th/Statistic/Statistic/Index.jsp>. Accessed date : Sep 10, 2005.
- Valix, M., Siliezar, J., and Zhang, K. (1999). The influence of the properties of activated bagacillo on Cr (VI) adsorption. *Dev. Chem. Eng. Mineral Process.*, 7(5/6): 537-549.